

ИЗ ТЕКУЩЕЙ ЛИТЕРАТУРЫ

## Электронная структура нитрида кремния

В.А. Гриценко

*Аморфные оксид ( $\text{SiO}_2$ ), оксинитрид ( $\text{SiO}_x\text{N}_y$ ) и нитрид ( $\text{Si}_3\text{N}_4$ ) кремния являются тремя ключевыми диэлектриками в кремниевых приборах. В настоящее время нитрид кремния находит многочисленные применения, в частности, в качестве запоминающей среды в приборах флеш-памяти нового поколения. Изменение химического состава нестехиометрического нитрида кремния  $\text{SiN}_x$ , обогащённого кремнием, позволяет в широком диапазоне управлять его оптическими и электрическими свойствами. Настоящий обзор посвящён анализу электронной структуры нитрида кремния переменного состава.*

PACS numbers: 71.15.Mb, 71.23.-k, 77.22.-d, 77.55.df, 77.84.Bw, 78.20.-e

DOI: 10.3367/UFNr.0182.201205d.0531

### Содержание

1. Введение (531).
2. Методика экспериментов по изучению электронной структуры нитрида кремния (532).
3. Структура нитрида кремния (532).
4. Электронная структура  $\text{Si}_3\text{N}_4$  по данным зонных расчётов и эксперимента (533).
5. Электронная структура валентной зоны по данным фотоэлектронной спектроскопии (536).
6. Энергетическая схема электронных переходов в аморфном  $\text{Si}_3\text{N}_4$  (537).
7. Электронная структура нитрида кремния  $\text{SiN}_x$ , обогащённого кремнием (539).
8. Оптические свойства нитрида кремния, обогащённого кремнием, и облучённого нитрида кремния (540).
9. Заключение (541).

Список литературы (541).

### 1. Введение

Аморфные оксид ( $\text{SiO}_2$ ), оксинитрид ( $\text{SiO}_x\text{N}_y$ ) и нитрид ( $\text{Si}_3\text{N}_4$ ) кремния являются тремя основными диэлектриками в кремниевых интегральных схемах. Благодаря этим диэлектрикам стал возможен поразительный прогресс в полупроводниковой кремниевой электронике, которая пришла на смену вакуумной электронике. Оксид кремния имеет низкую плотность состояний на границе кремний–диэлектрик ( $\approx 10^{10} \text{ см}^{-2}$ ), высокое пробивное поле ( $> 10^7 \text{ В см}^{-1}$ ), сравнимое с внутриатомным полем, низкую концентрацию ловушек. Этот диэлектрик используется в качестве подзатворного изоля-

тора в транзисторах на основе структур металл–диэлектрик–полупроводник (МДП).

Нитрид кремния по сравнению с оксидом кремния имеет очень высокую концентрацию электронных и дырочных ловушек,  $\approx 10^{19} \text{ см}^{-3}$  [1, 2]. Ловушки в  $\text{Si}_3\text{N}_4$  являются глубокими, с энергией  $W \approx 1,5 \text{ эВ}$  [3]. Нитрид кремния обладает эффектом памяти, способностью локализовывать (захватывать на ловушки) инжектированные в него электроны и дырки с гигантским временем жизни в локализованном состоянии,  $\approx 10$  лет при  $85^\circ\text{C}$ . Эффект памяти в нитриде кремния используется для разработки энергонезависимых (сохраняющих информацию при отключённом питании) приборов флеш-памяти [4, 5]. Кроме того, по сравнению с оксидом кремния ( $\varepsilon \approx 3,9$ ) нитрид имеет более высокую диэлектрическую проницаемость ( $\varepsilon \approx 7$ ) и используется в качестве изолирующего слоя в запоминающих конденсаторах оперативных запоминающих устройств, для изоляции многоуровневой металлической разводки, в качестве блокирующего диэлектрика во флеш-элементах памяти с плавающим затвором. В кремниевых приборах используется аморфный нитрид кремния.

В кристаллическом состоянии нитрид кремния применяется в качестве керамики, которая имеет высокую твёрдость, износостойкость (используется в режущих инструментах), прочность, жаростойкость, радиационную стойкость (используется в атомной энергетике, космосе), низкий удельный вес (применяется при протезировании костей человека).

Механические, оптические, электрические свойства нитрида кремния определяются его электронной структурой. В последние годы благодаря прогрессу вычислительной техники, разработке сложных первопринципных (*ab initio*) квантово-химических методов моделирования электронной структуры твёрдых тел достигнут существенный прогресс в понимании электронной структуры нитрида кремния. Целью настоящего обзора является анализ современных представлений об электронной структуре важнейшего материала современной кремниевой электроники — нитрида кремния.

В.А. Гриценко. Институт физики полупроводников им. А.В. Ржанова СО РАН,  
пр. Лаврентьева 13, 630090 Новосибирск, Российская Федерация  
Тел. (383) 333-38-64. Факс (383) 333-27-71  
E-mail: grits@isp.nsc.ru

Статья поступила 8 декабря 2011 г.

## 2. Методика экспериментов по изучению электронной структуры нитрида кремния

Схема электронных переходов, полученных по данным спектроскопии  $\text{Si}_3\text{N}_4$ , представлена на рис. 1а. Информация о парциальной плотности состояний в валентной зоне получается с помощью рентгеновских спектров эмиссии. В основе эксперимента лежит регистрация спектра эмиссии, который возникает при заполнении электронами вакантных состояний (дырок) на остевых атомных уровнях  $\text{Si} 1s$ ,  $\text{Si} 2p$ ,  $\text{N} 1s$ . Дырки на остевых уровнях образуются при облучении образца электронным пучком или рентгеновским квантом. Интенсивность рентгеновского излучения пропорциональна плотности электронных состояний в валентной зоне. Ширина валентной зоны  $\text{Si}_3\text{N}_4$  составляет около 13 эВ, что существенно меньше энергии рентгеновских переходов, наблюдавшихся в спектрах эмиссии. В связи с этим предполагается, что матричный элемент перехода слабо зависит от энергии. В дипольном приближении разрешены рентгеновские переходы, в которых орбитальный момент изменяется на  $\pm 1$ . В соответствии с дипольными правилами отбора в спектрах эмиссии  $\text{Si} L_{2,3}$  осуществляются переходы с  $\text{Si} 3s$ -, 3d-состояний валентной зоны на  $\text{Si} 2p$ -атомный уровень (уровень  $L_{2,3}$  в обозначениях рентгеновской спектроскопии). В  $\text{Si} K$ -спектрах регистрируются переходы с  $\text{Si} 3p$ -состояний валентной зоны на  $\text{Si} 1s$ -атомные состояния. В  $K$ -спектрах эмиссии азота проявляются переходы с  $\text{N} 2p$ -состояний валентной зоны на  $\text{N} 1s$ -атомный уровень азота.

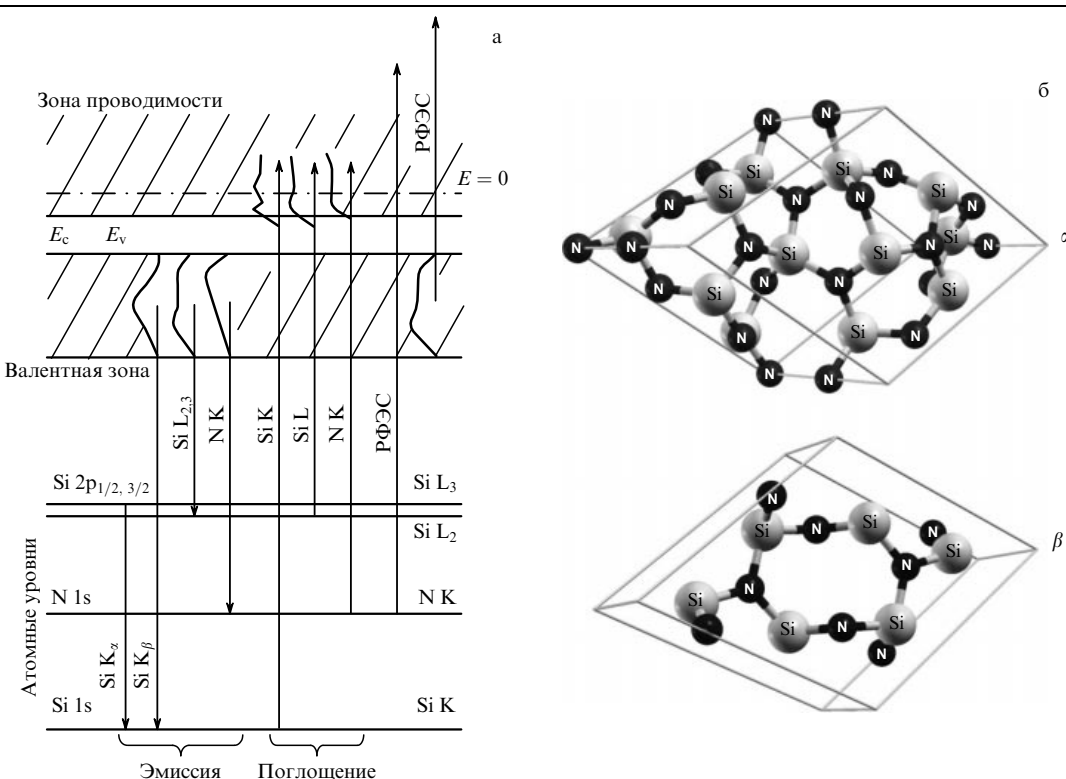
Плотность состояний в зоне проводимости исследуется с помощью спектров рентгеновского поглоще-

ния, или спектров квантового выхода. В спектрах квантового выхода регистрируются переходы с заполненных атомных  $\text{Si} 1s$ -,  $\text{Si} 2p$ -,  $\text{N} 1s$ -уровней на незаполненные вакантные состояния зоны проводимости. Спектры квантового выхода в первом приближении интерпретируются в соответствии с дипольными правилами отбора.

Рентгеновские (РФЭС) и ультрафиолетовые (УФЭС) фотоэлектронные спектры несут информацию об остевых атомных уровнях и заполненных состояниях валентной зоны. В экспериментах по рентгеновской фотоэлектронной спектроскопии образец облучается монохроматическим квантам с фиксированной энергией. Под действием этого кванта электроны с остевых уровней и валентной зоны эмитируются в вакуум. В эксперименте регистрируется энергетическое распределение электронов в вакууме. Известная энергия кванта и измеренная кинетическая энергия электронов позволяют определить положение остевых атомных уровней по отношению к уровню электрона в вакууме или плотность электронных состояний в валентной зоне. Следует отметить, что состояния в валентной зоне формируются из электронных состояний с разной симметрией волновых функций. Сечение фотоионизации электрона в вакууме зависит от симметрии волновых функций и энергии возбуждения. Таким образом, фотоэлектронный спектр валентной зоны не эквивалентен плотности состояний в валентной зоне, которую можно получить из квантово-химических расчётов.

## 3. Структура нитрида кремния

Нитрид кремния — полиморфное соединение, которое существует в четырёх аллотропных модификациях. В



**Рис. 1.** (а) Схема электронных переходов, наблюдавшихся в экспериментах по рентгеновской эмиссионной спектроскопии, рентгеновской фотоэлектронной спектроскопии и в рентгеновских спектрах поглощения. Горизонтальными линиями обозначены атомные уровни, вертикальными стрелками — электронные переходы. (б) Элементарные ячейки  $\alpha$ - $\text{Si}_3\text{N}_4$  и  $\beta$ - $\text{Si}_3\text{N}_4$ .

кристаллическом состоянии имеются две стабильные гексагональные фазы,  $\alpha\text{-Si}_3\text{N}_4$  и  $\beta\text{-Si}_3\text{N}_4$ , со структурой фенакита (рис. 1б). При температуре ниже 1150 °С стабильна  $\beta$ -фаза, при более высоких температурах стабильна  $\alpha$ -фаза. Атомная плотность  $\alpha\text{-Si}_3\text{N}_4$  и  $\beta\text{-Si}_3\text{N}_4$  составляет величину  $\rho = 3,1 \text{ г см}^{-3}$ . Элементарная ячейка  $\alpha$ -фазы содержит 28 атомов (12Si и 16N) и имеет постоянные решётки  $a = 7,75 \text{ \AA}$ ,  $c = 5,62 \text{ \AA}$ . Ячейка  $\beta$ -фазы содержит 14 атомов (6Si и 8N); постоянные решётки  $a = 7,71 \text{ \AA}$ ,  $c = 2,91 \text{ \AA}$  [6]. Элементарная ячейка  $\alpha\text{-Si}_3\text{N}_4$  имеет симметрию  $P31c$ ,  $\beta\text{-Si}_3\text{N}_4$  — симметрию  $P6_3/m$ . Обе фазы имеют тетраэдрическую структуру, атом кремния координирован четырьмя атомами азота, атом азота координирован тремя атомами кремния. Тетраэдр имеет искажённую форму, длина связи Si—N находится в диапазоне 1,70–1,74 Å, тетраэдрический угол N—Si—N лежит в диапазоне 107,0°–112,3°, диэдрический угол Si—N—Si — в диапазоне 117,0°–122,5°. С точки зрения атомной структуры,  $\alpha$ -фаза наиболее близка к аморфному нитриду a-Si<sub>3</sub>N<sub>4</sub> [1]. Плотности веществ отличаются незначительно,  $\rho \approx 3,0 \text{ г см}^{-3}$ . Строение аморфного Si<sub>3</sub>N<sub>4</sub> анализировалось в [6]. В последнее время открыта сверхплотная кубическая модификация c-Si<sub>3</sub>N<sub>4</sub> [7–9]. Эта модификация состоит из тетраэдров SiN<sub>4</sub> и октаэдров SiN<sub>6</sub>, имеет плотность  $\rho \approx 4,0 \text{ г см}^{-3}$  [8].

#### 4. Электронная структура Si<sub>3</sub>N<sub>4</sub> по данным зонных расчётов и эксперимента

В [10–13] из первых принципов была рассчитана электронная зонная структура  $\alpha$ - и  $\beta$ -фаз нитрида кремния. В основе современных зонных расчётов электронной структуры нитрида кремния лежит теория функционала плотности (DFT), кратко рассмотренная в [14]. В качестве расчётного базиса используются плоские волны. Периодическая структура кристалла учитывается через условия на границе элементарной ячейки. В расчёте Si<sub>3</sub>N<sub>4</sub> используются следующие электронные конфигурации: для Si — [Ne] 3s<sup>2</sup> 3p<sup>2</sup> 3d<sup>0</sup> и для N — [He] 2s<sup>2</sup> 2p<sup>3</sup>. Указанные состояния относятся к валентным оболочкам, [Ne], [He] — к остову. Остовные электроны учитываются через использование ультрамягких (ultrasoft Vanderbilt) псевдопотенциалов. Используется нелокальный обменно-кореляционный функционал в параметризации Perdew–Burke–Ernzerhof (PBE). Авторы отмечают, что зонные структуры  $\alpha$ - и  $\beta$ -фаз близки и основные свойства электронной структуры практически полностью определяются ближним порядком. В работе [10] были получены аномально большие значения для эффективной массы дырок в  $\alpha\text{-Si}_3\text{N}_4$ ,  $m_h^* \approx 2,5\text{--}3,5m_e$ . Экспериментальные значения туннельных эффективных масс как электронов, так и дырок в аморфном нитриде лежат в диапазоне  $m_e^* \approx m_h^* \approx (0,4\text{--}0,5)m_e$  [15–19].

В работе [10] рассчитанный перенос заряда на связи Si—N составил  $\Delta = 0,70e$ , что вдвое превышает экспериментальное значение  $\Delta = 0,35e$  в аморфном Si<sub>3</sub>N<sub>4</sub> [20]. В работе [11] в  $\alpha\text{-Si}_3\text{N}_4$  было получено значение эффективной массы дырок  $m_h^* \approx 0,55m_0$ , близкое к экспериментальной величине, однако эффективные массы электронов вдвое превышают экспериментальные значения для a-Si<sub>3</sub>N<sub>4</sub>. Перенос заряда по связи Si—N составил  $\Delta = 0,63e$ , что существенно превышает экспериментальное значение ( $0,35e$ ). Было обнаружено заметное отличие эффективных масс в  $\alpha$ - и  $\beta$ -модификациях.

Следует отметить, что экспериментального изучения эффективных масс и эффективных зарядов в кристаллических модификациях Si<sub>3</sub>N<sub>4</sub> не проводилось. В то же время известно, что аморфная фаза близка по структуре к кристаллической  $\alpha$ -фазе. Трудность теоретического моделирования аморфной структуры из первых принципов приводит к тому, что в подавляющем большинстве работ вместо аморфной используется кристаллическая  $\alpha$ -фаза. Как показывают расчёты, это приближение работает очень хорошо.

Зона Бриллюэна для  $\alpha\text{-Si}_3\text{N}_4$  представлена на рис. 2. Для  $\beta$ -фазы картина качественно сходна, обратная ячейка более вытянута вдоль оси шестиугольной призмы. На рисунке показаны уникальные точки симметрии и путь в обратном пространстве, вдоль которого строилась дисперсионная зависимость  $E(k)$ , приведённая на рис. 3 ( $\alpha\text{-Si}_3\text{N}_4$ ) и рис. 4 ( $\beta\text{-Si}_3\text{N}_4$ ).

Рассчитаны и проанализированы пространственные распределения электронной плотности в зависимости от энергии в  $\alpha\text{-Si}_3\text{N}_4$ . На рисунке 5 представлены распреде-

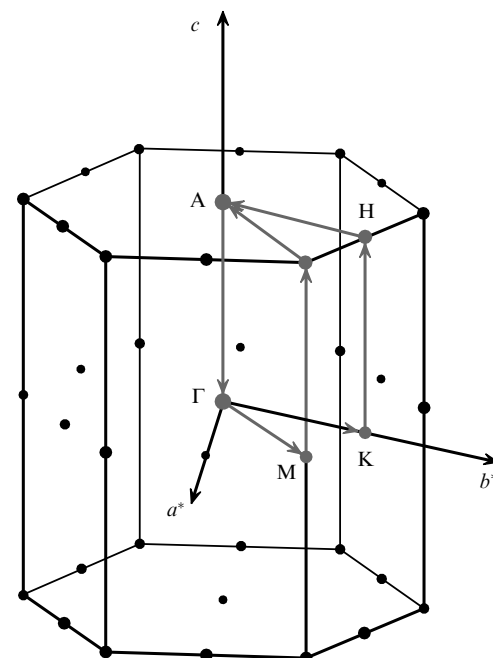


Рис. 2. Зона Бриллюэна для  $\alpha\text{-Si}_3\text{N}_4$ . Приведены уникальные точки симметрии.

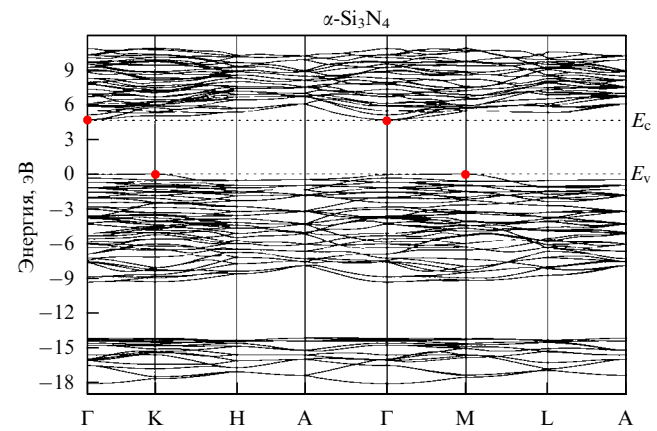
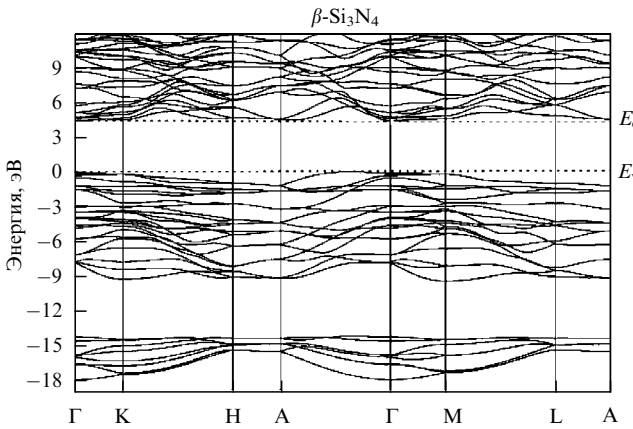


Рис. 3. Зонная структура  $\alpha\text{-Si}_3\text{N}_4$ .

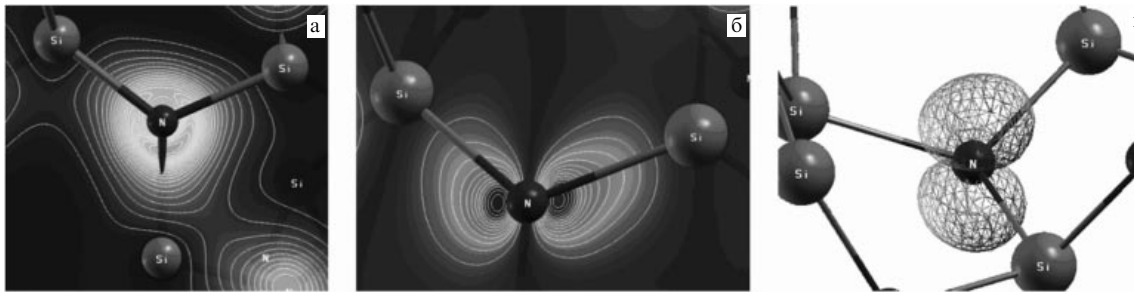
Рис. 4. Зонная структура  $\beta\text{-Si}_3\text{N}_4$ .

ления зарядовой плотности в валентной зоне при трёх различных энергиях [21]. Рисунок 5а показывает распределение зарядовой плотности в области энергии  $-17$  эВ, соответствующей  $\text{N}$  2s-орбиталям. В соответствии с общими квантово-механическими представлениями, полученная картина распределения электронной плотности имеет симметрию, близкую к сферической, что характерно для волновых функций s-электронов. На рисунке 5б изображено распределение заряда при энергии  $-4$  эВ, соответствующей связующей  $\text{N}$  2p-Si sp-орбитали. Из этого изображения видно, что  $\alpha\text{-Si}_3\text{N}_4$  является полярным кристаллом, электронная плотность на связи Si–N в основном локализована вблизи атома азота в силу его большей электроотрицательности. Градиент зарядовой плотности направлен вдоль связей Si–N, что указывает

на связующий характер орбитали. На рисунке 5в показана поверхность постоянной электронной плотности для несвязующих  $\text{N}$  2p <sub>$\pi$</sub> -орбиталей (энергия  $-0,1$  эВ), из которых сформирован верх (потолок) валентной зоны [12, 21]. В соответствии с ожиданиями, волновая функция несвязующей орбитали локализована вдоль оси, перпендикулярной плоскости, сформированной атомом азота и его ближайшим окружением из трёх атомов кремния.

Парциальная плотность состояний (ППС) для Si 3s, 3p и N 2p в  $\alpha\text{-Si}_3\text{N}_4$  и  $\beta\text{-Si}_3\text{N}_4$  изучалась в [13]. Расчётные ППС для обеих фаз очень близки и качественно совпадают. Анализ заселённости по Лоудину (Lowdin) позволил определить эффективные заряды на атомах кремния и азота в  $\alpha\text{-Si}_3\text{N}_4$ : Si ( $q = 2,49e$ ), N ( $q = 6,02e$ ). Поскольку атом кремния в  $\text{Si}_3\text{N}_4$  координирован четырьмя атомами азота, а атом азота — тремя атомами кремния, то рассчитанный перенос заряда на связь Si–N составляет  $\approx 0,37e$ . Эта величина близка к экспериментальному значению  $0,35e$ . Эффективные заряды и перенос заряда на связь Si–N в  $\beta\text{-Si}_3\text{N}_4$  практически не отличаются от соответствующих значений для  $\alpha\text{-Si}_3\text{N}_4$ .

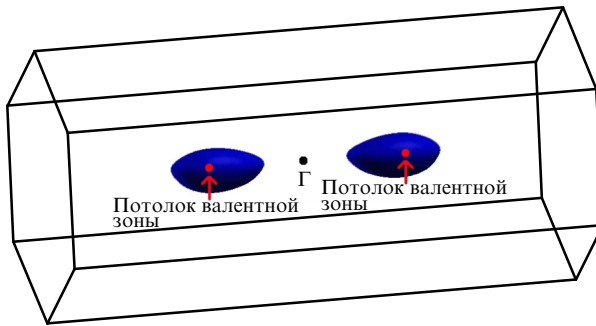
Значения эффективных масс для электронов и дырок в обеих модификациях  $\text{Si}_3\text{N}_4$  приведены в таблице. Анализ зонной структуры  $\alpha\text{-Si}_3\text{N}_4$  позволяет заключить, что он является непрямозонным диэлектриком. Потолок валентной зоны расположен в точке К зоны Бриллюэна. Во всей плоскости ГКМ (плоскость, перпендикулярная оси призмы, см. рис. 2) значения энергии близки. Как следствие, получаем большие значения эффективных масс  $m_e^*$  для дырок в этой плоскости. Значение эффективной массы  $m_h^*$  в направлении, перпендикулярном плоскости ГКМ, составляет  $\approx 0,5m_0$ , что близко к экспериментальным данным,  $(0,4\text{--}0,5)m_0$  [15].

Рис. 5. Распределение электронной плотности в  $\alpha\text{-Si}_3\text{N}_4$  при различных энергиях: (а)  $-17$  эВ, (б)  $-4$  эВ, (в)  $-0,1$  эВ. Энергия отсчитывается от потолка валентной зоны.

**Таблица.** Компоненты тензоров эффективных масс электронов и дырок (в единицах  $m_0$ ) в  $\alpha\text{-Si}_3\text{N}_4$  и  $\beta\text{-Si}_3\text{N}_4$  для двух направлений вдоль шестиугольной призмы: перпендикулярно ( $m_e^{*\perp}, m_h^{*\perp}$ ) и параллельно ( $m_e^{*\parallel}, m_h^{*\parallel}$ ) её оси

Компоненты тензоров эффективных масс	$\alpha\text{-Si}_3\text{N}_4$	$\beta\text{-Si}_3\text{N}_4$
$m_e^{*\parallel}$	0,79 ( $\Gamma\text{--A}$ )	0,23 ( $\Gamma\text{--A}$ )
$m_e^{*\perp}$	1 ( $\Gamma\text{--K}; \Gamma\text{--M}$ )	1,6 ( $\Gamma\text{--K}; \Gamma\text{--M}$ )
$m_h^{*\parallel}$	0,5 ( $M\text{--L}$ )	2,9 ( $\text{потолок B3--}\Gamma$ )
$m_h^{*\perp}$	6 ( $M\text{--}\Gamma; M\text{--K}$ )	1,5 ( $\text{потолок B3--A}$ )
		0,85 ( $\text{перпендикулярно } \Gamma\text{--A}$ )

*Примечание.* В  $\alpha\text{-Si}_3\text{N}_4$ , где наблюдается вырождение на дне зоны проводимости в  $\Gamma$ -точке, снимающееся в направлении, перпендикулярном оси призмы, приведены два значения компоненты  $m_e^{*\perp}$ , соответствующие двум вырожденным зонам. В  $\beta\text{-Si}_3\text{N}_4$ , где значение компоненты  $m_h^{*\parallel}$ , параллельной оси призмы, зависит от направления вдоль оси, приведены два значения  $m_h^{*\parallel}$ .

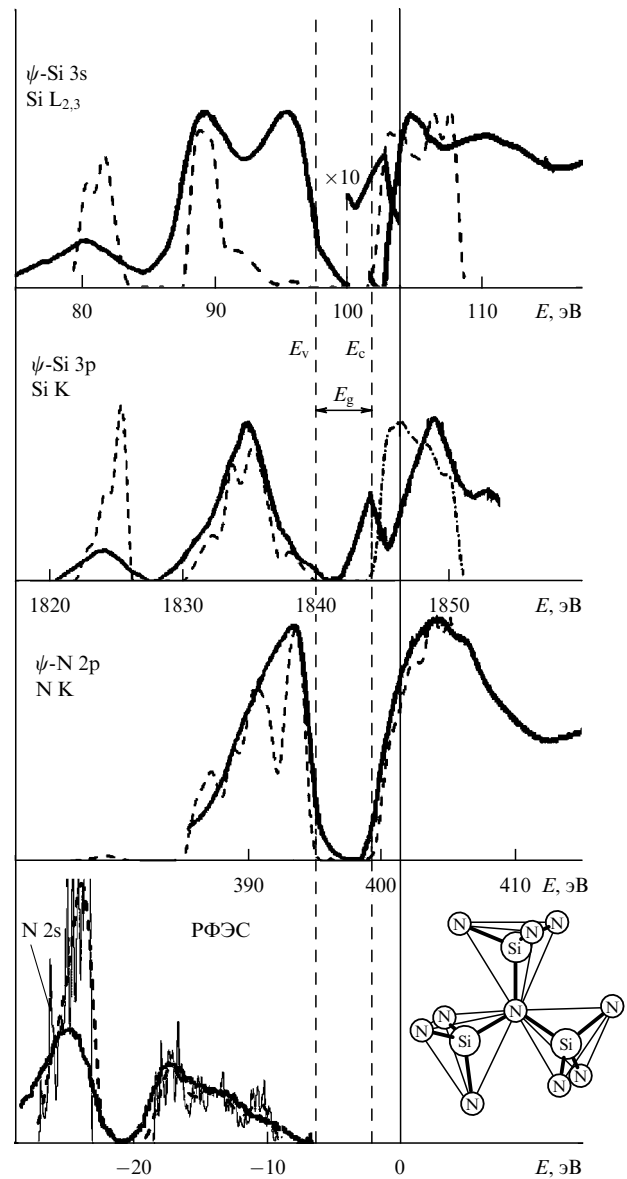


**Рис. 6.** Поверхность постоянной энергии в зоне Бриллюэна для  $\beta\text{-Si}_3\text{N}_4$ .

Дно зоны проводимости расположено в центре зоны Бриллюэна Г (см. рис. 3, 4). Здесь наблюдается вырождение по энергии, которое снимается при движении перпендикулярно оси призмы (направления  $\Gamma \rightarrow M$  и  $\Gamma \rightarrow K$ ) и остаётся при движении параллельно оси призмы (направление  $\Gamma \rightarrow A$ ). Неучёт этого вырождения в работе [10] привёл к завышению эффективной массы электронов вдвое. С учётом вырождения эффективная масса "лёгких" электронов составляет  $m_e^* \approx 0,5m_0$ , что близко к экспериментальным данным,  $(0,4-0,5)m_0$ . Расчётная ширина запрещённой зоны  $\alpha\text{-Si}_3\text{N}_4$  составляет 4,5 эВ. Это значение хорошо совпадает с результатами оптических измерений аморфного нитрида кремния [2] и шириной запрещённой зоны, определённой с помощью измерения барьеров для инжекции электронов и дырок [15].

Как и  $\alpha\text{-Si}_3\text{N}_4$ ,  $\beta\text{-Si}_3\text{N}_4$  является непрямозонным диэлектриком. Анализ зонной структуры  $\beta\text{-Si}_3\text{N}_4$  (см. рис. 4) указывает на ряд заметных отличий от  $\alpha\text{-Si}_3\text{N}_4$ . Вершина валентной зоны смещена из  $\Gamma$  в направлении точки А. На рисунке 6 приведён вид поверхности постоянной энергии в зоне Бриллюэна для  $\beta\text{-Si}_3\text{N}_4$ . Хорошо видно, что поверхность постоянной энергии имеет форму эллипсоида вращения с одной половинкой, сжатой по оси шестиугольной призмы. Вид дисперсии  $E(k)$  и величина эффективной массы зависят от направления вдоль оси призмы. Тот факт, что вершина валентной зоны  $\beta\text{-Si}_3\text{N}_4$  не находится в точке симметрии зоны Бриллюэна, приводит к кардинальному отличию эффективных масс дырок по сравнению с  $\alpha\text{-Si}_3\text{N}_4$ . Дно зоны проводимости  $\beta\text{-Si}_3\text{N}_4$  находится в точке  $\Gamma$  зоны Бриллюэна. Вырождения, характерного для  $\alpha\text{-Si}_3\text{N}_4$ , не наблюдается.

Экспериментальные спектры эмиссии и поглощения аморфного  $\text{Si}_3\text{N}_4$ , взятые из [13], совмещённые в единой энергетической шкале, представлены на рис. 7. За начало отсчёта энергии принято положение потолка валентной зоны  $E_v$ . В соответствии с экспериментом валентная зона  $\text{Si}_3\text{N}_4$  состоит из двух подзон, разделённых ионной щелью. В стандартной интерпретации нижняя валентная зона сформирована из 2s-орбиталей азота с примесью 3s-, 3p-состояний кремния. Верхняя валентная зона сформирована 2p-орбиталями азота и 3s-, 3p-орбиталями кремния. В рентгеновских спектрах эмиссии  $\text{Si L}_{2,3}$  проявляются переходы из валентной зоны на внутренний атомный  $\text{Si 2p}$ -уровень. В соответствии с дипольными правилами отбора, на  $\text{Si 2p}$ -уровень разрешены переходы с  $\text{Si 3s}$ -состояний (одноцентровые локальные переходы). Верхний пик при энергии около  $-8$  эВ в расчётной ППС близок к расположению соответствующего пика в спектре эмиссии  $\text{Si L}_{2,3}$ . Пик с энергией около  $-3$  эВ в экспери-



**Рис. 7.** Экспериментальные рентгеновские спектры эмиссии, квантового выхода (поглощения) аморфного  $\text{Si}_3\text{N}_4$  (сплошные линии) и рассчитанная парциальная плотность состояний  $\alpha\text{-Si}_3\text{N}_4$  (штриховые линии). Все спектры приведены к единому началу отсчёта — энергии электрона в вакууме (сплошная вертикальная линия). Слева внизу представлен рентгеновский фотоэлектронный спектр валентной зоны, энергия возбуждения  $E = 1486,6$  эВ. Справа внизу — структурная единица нитрида кремния — три тетраэдра, соединённых атомом азота;  $\psi$  — волновая функция.

ментальном Si L<sub>2,3</sub>-спектре эмиссии обусловлен, как это показано в [22], вкладом Si 3d-состояний, не занятых в свободном атоме кремния, и вкладом двухцентровых переходов. Корректная интерпретация спектра эмиссии Si L<sub>2,3</sub> требует точного расчёта дипольных матричных элементов перехода, включая вклады от нелокальных переходов (двуцентровые N 2p → Si 3s, p). Более точный учёт этих переходов приведён в работе [22].

Сравнение Si L<sub>2,3</sub>-спектров эмиссии кристаллических  $\alpha$ -Si<sub>3</sub>N<sub>4</sub>,  $\beta$ -Si<sub>3</sub>N<sub>4</sub> и аморфного нитрида кремния a-Si<sub>3</sub>N<sub>4</sub> указывает на их подобие (рис. 8) [23]. Эти фазы объединяет одинаковый ближний порядок в расположении атомов. Дальний порядок в  $\alpha$ -Si<sub>3</sub>N<sub>4</sub>,  $\beta$ -Si<sub>3</sub>N<sub>4</sub> разный, а в аморфном a-Si<sub>3</sub>N<sub>4</sub> дальний порядок отсутствует. Отсюда

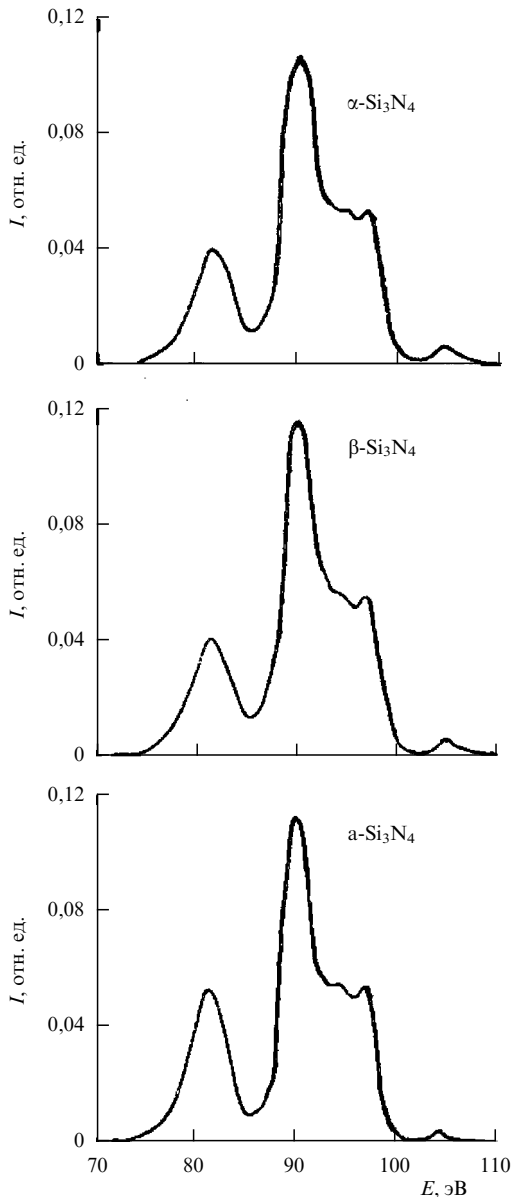


Рис. 8. Экспериментальные Si L<sub>2,3</sub>-спектры эмиссии различных аллотропических фаз нитрида кремния.

следует, что основные особенности электронной структуры нитрида кремния определяются ближним порядком в расположении атомов.

## 5. Электронная структура валентной зоны по данным фотоэлектронной спектроскопии

На рисунке 9 представлены фотоэлектронные спектры валентной зоны аморфного Si<sub>3</sub>N<sub>4</sub>, измеренные при различных энергиях возбуждения с использованием синхротронного излучения: 40,8, 200, 384, 620, 1486,6 эВ [21]. На этом же рисунке представлены рассчитанные фотоэлектронные спектры валентной зоны  $\alpha$ -Si<sub>3</sub>N<sub>4</sub>, полученные на основе парциальной плотности состояний с учётом сечений фотоионизации, зависящих от энергии возбуждения [24]. В соответствии с расчётами валентная зона нитрида кремния состоит из двух подзон. Нижняя зона сформирована N 2s-орбиталами с примесью Si 3s-, Si 3p-орбиталей. Расчётные спектры имеют завышенную по сравнению с экспериментом интенсивность пика,

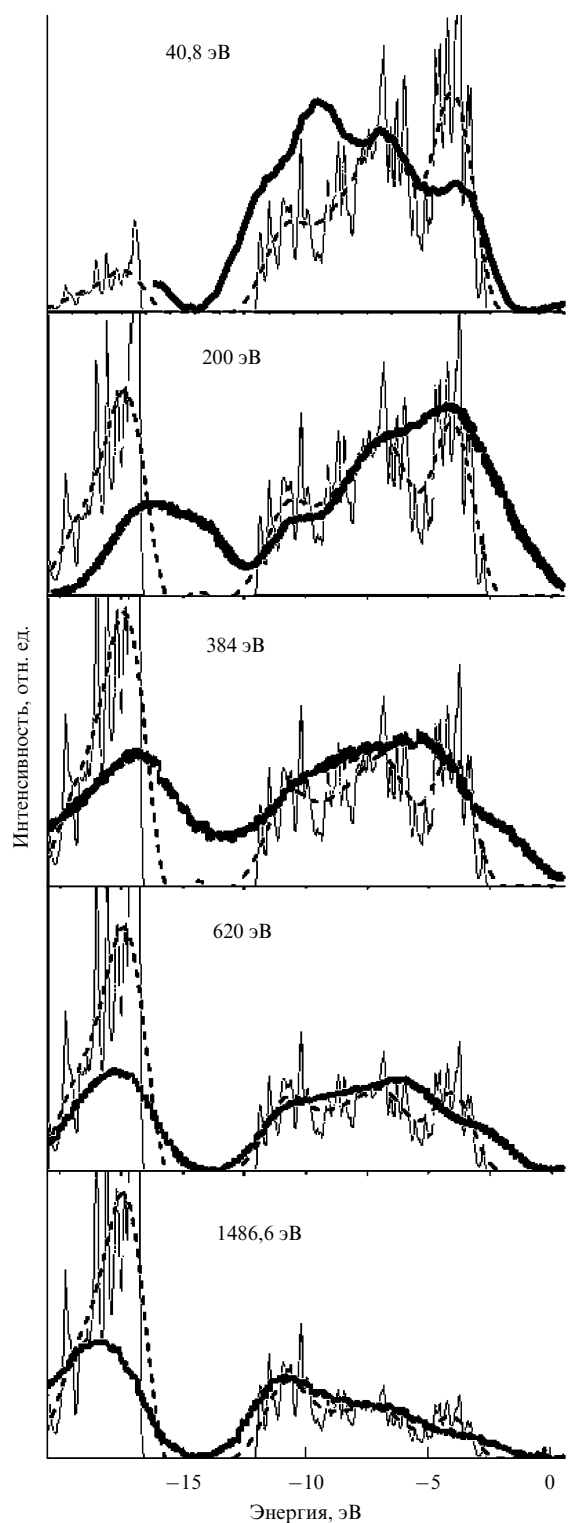


Рис. 9. Экспериментальные и расчётные фотоэлектронные спектры валентной зоны аморфного Si<sub>3</sub>N<sub>4</sub> при различных энергиях возбуждения.

соответствующего нижней валентной зоны. Этот результат обусловлен, по-видимому, переоценкой расчётных сечений фотоионизации N 2s-состояний.

Верхняя валентная зона сформирована из N 2p- и Si 3s-, Si 3p-орбиталей. И в эксперименте, и в расчёте имеются три пика. Нижний пик соответствует связующим Si 3s–N 2p-состояниям, средний пик соответствует связующим Si 3p–N 2p-состояниям, пик у потолка валентной зоны соответствует несвязующим N 2p<sub>π</sub>-состоя-

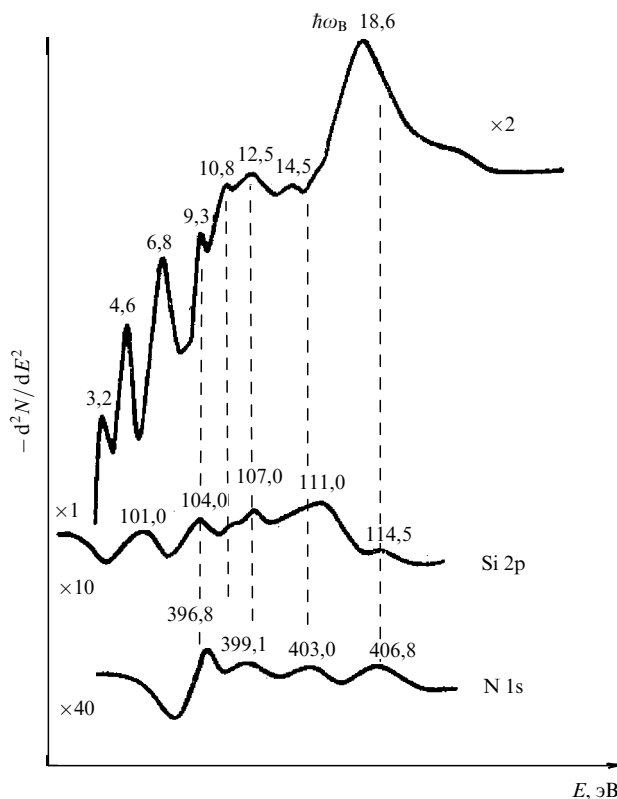


Рис. 10. Спектр межзонных переходов и спектры ионизации уровней в аморфном нитриде кремния.

ниям. Такая интерпретация подтверждается распределением электронной плотности в валентной зоне при различных энергиях (см. рис. 5).

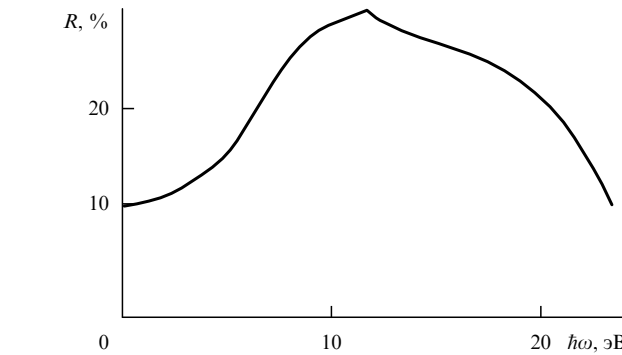


Рис. 11. Спектр отражения аморфного  $Si_3N_4$ .

Подобно оксиду кремния, в формирование потолка верхней валентной зоны нитрида кремния доминирующий вклад дают несвязующие  $N\ 2p_\pi$ -орбитали. Интеграл перекрытия  $N\ 2p_\pi$ -орбиталей мал, поэтому этим орбиталям соответствуют вблизи потолка валентной зоны тяжёлые дырки,  $m_h^* \approx 25m_e^*$  (см. таблицу). Такая интерпретация была предложена для  $SiO_2$  в [25]. Однако принципиально важно отметить, что, кроме  $N\ 2p_\pi$ -орбиталей, в формировании верхней валентной зоны участвуют также связующие  $Si\ 3s$ -,  $Si\ 3p$ - $N\ 2p$ -орбитали. Связующим  $Si$ -орбиталям вблизи потолка валентной зоны соответствуют лёгкие ( $m_h^* \approx 0,43m_e^*$ ) дырки (см. таблицу).

## 6. Энергетическая схема электронных переходов в аморфном $Si_3N_4$

На рисунке 10 представлен спектр электронных возбуждений аморфного нитрида кремния при возбуждении электронов из валентной зоны в зону проводимости, а

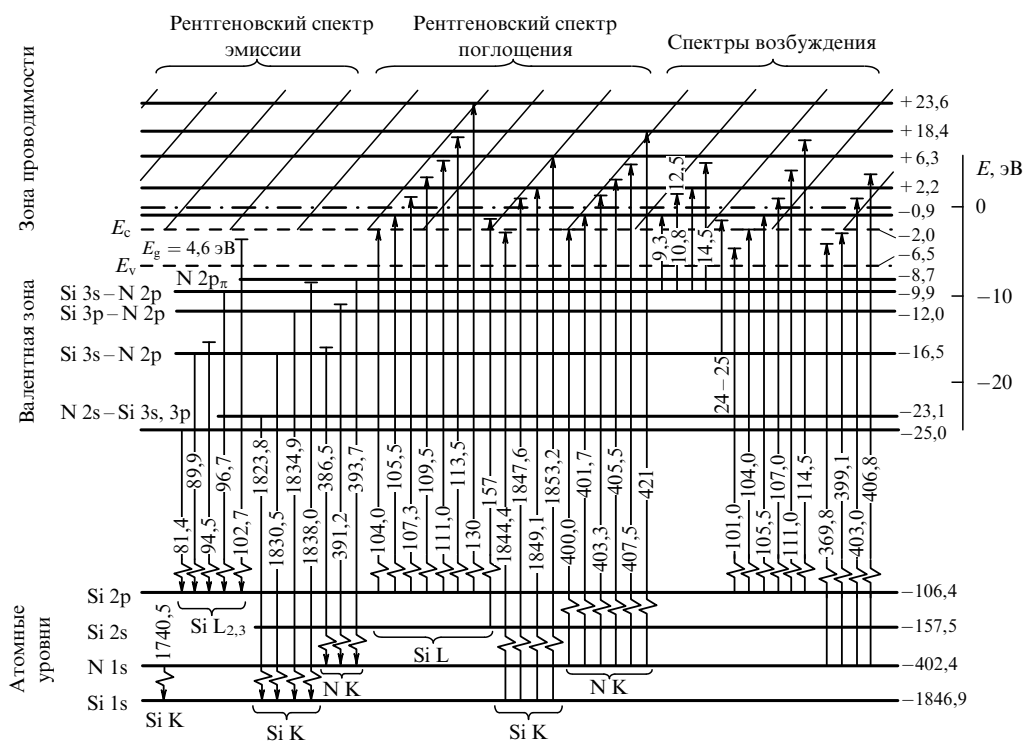


Рис. 12. Энергетическая схема электронных переходов в аморфном  $Si_3N_4$ . Горизонтальными линиями обозначены положения атомных уровней и пиков плотности электронных состояний в валентной зоне и зоне проводимости, вертикальными стрелками — электронные переходы.

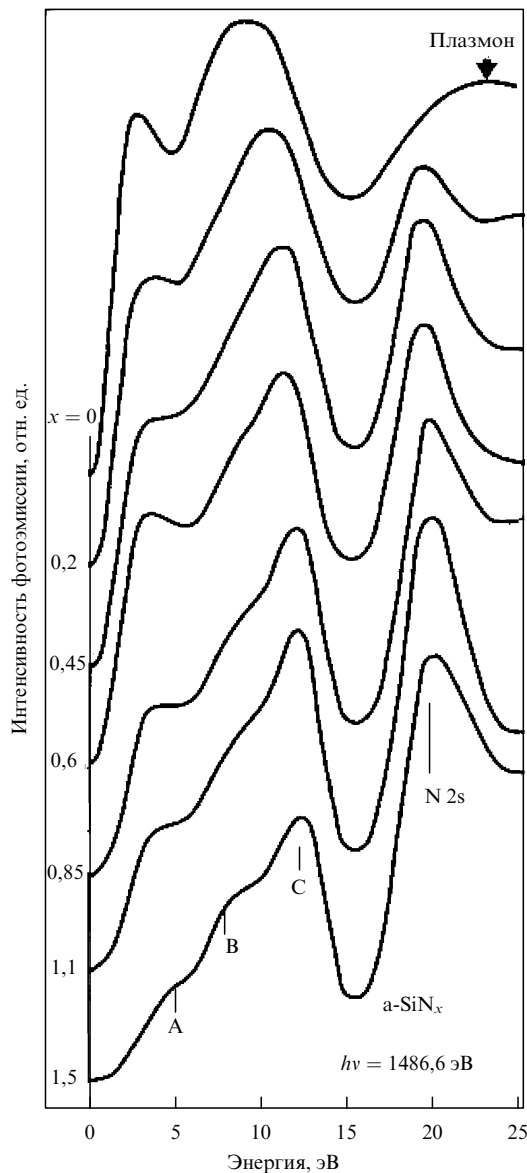


Рис. 13. Рентгеновские фотоэлектронные спектры валентной зоны  $\text{Si}_3\text{N}_4$ .

также при возбуждении электронов с  $\text{Si} 2p$ - и  $\text{N} 1s$ -уровней в валентную зону [26]. Эти данные использованы при построении энергетической диаграммы электронных переходов в нитриде кремния. В оптических спектрах отражения  $\text{Si}_3\text{N}_4$  наблюдается только одна сингулярность при энергии 9,5 эВ (рис. 11) [27]. Эта энергия близка к энергии 9,3 эВ, наблюдавшейся в спектрах возбуждения.

На рисунке 12 представлена энергетическая схема электронных состояний и рентгеновских переходов в аморфном  $\text{Si}_3\text{N}_4$ . Все энергии отсчитываются от энергии электрона в вакууме. Энергии внутренних  $\text{Si} 2p$ -,  $\text{Si} 2s$ -,  $\text{N} 1s$ -уровней определены с помощью рентгеновской фотоэлектронной спектроскопии, энергия  $\text{Si} 1s$ -уровня — из  $\text{Si K}_{\alpha}$ -спектра эмиссии, в котором регистрируются переходы между  $\text{Si} 2p$ - и  $\text{Si} 1s$ -уровнями. Энергия этого перехода в  $\text{Si}_3\text{N}_4$  равна 1740,5 эВ [1]. Горизонтальные линии в валентной зоне и зоне проводимости на рис. 12 соответствуют положению пиков плотности состояний, наблюдавшихся в рентгеновских переходах. На рисунке 12 представлены электронные переходы, наблюдавшиеся в

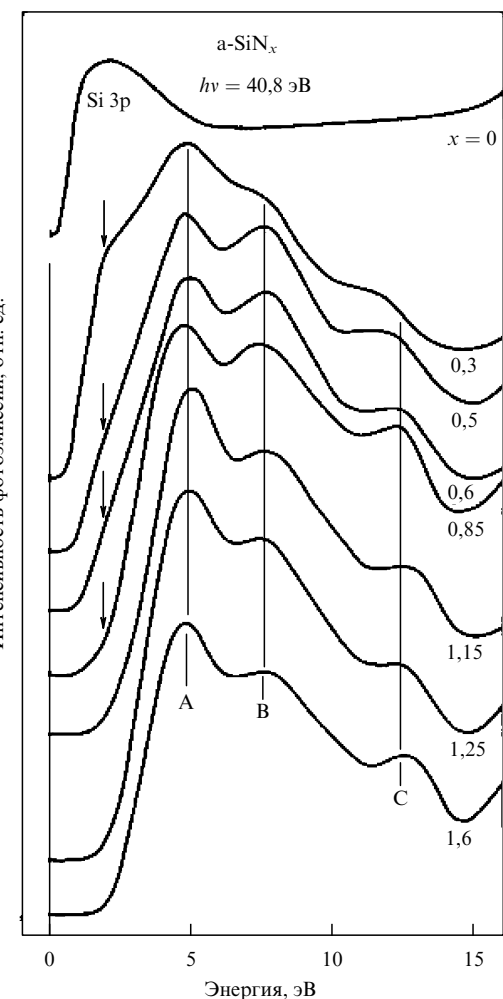


Рис. 14. Ультрафиолетовые фотоэлектронные спектры валентной зоны  $\text{Si}_3\text{N}_4$ .

спектрах рентгеновской эмиссии и рентгеновского поглощения, а также электронные переходы, наблюдавшиеся в спектрах ионизации  $\text{Si} 2p$ -,  $\text{N} 1s$ -уровней, и межзонные переходы из валентной зоны в зону проводимости, взятые из [26]. Низкоэнергетический край  $\text{Si} L_{2,3}$ -спектров квантового выхода попадает в запрещённую зону. В  $\text{Si K}$ -спектрах квантового выхода низкоэнергетический пик с энергией 1844,4 эВ также локализован в запрещённой зоне. Сюда же относятся переходы, наблюдавшиеся в спектрах ионизации при энергиях  $E = 101,0$  и  $104,0$  эВ при возбуждении  $\text{Si} 2p$ -уровня, и переходы с энергиями  $E = 390,8$  и  $399,1$  эВ при возбуждении  $\text{N} 1s$ -уровней (см. рис. 12). Эти пики не находят объяснения в рамках одноэлектронных расчётов, не учитывающих дефекты и многоэлектронные эффекты в нитриде кремния. Такие особенности могут быть обусловлены либо многоэлектронными эффектами, либо дефектами. Выявление природы низкоэнергетических переходов в спектрах квантового выхода и ионизации требует дальнейших исследований.

Из рисунка 12 следует, что переходы при энергиях  $E = 9,3$ ,  $10,8$ ,  $14,5$  эВ совпадают с энергетическим зазором между связующими и антисвязующими состояниями. Переход при 6,8 и 12,5 эВ плохо коррелирует с пиками плотности состояний, проявляющимися в рентгеновских

переходах. Подчеркнём, что энергетическая диаграмма на рис. 12 эмпирическая, построена она в рамках подхода, разработанного для  $\text{SiO}_2$  [28].

## 7. Электронная структура нитрида кремния $\text{SiN}_x$ , обогащённого кремнием

Аморфный нитрид кремния синтезируется при температурах 700–1000 °C пиролизом (термическим разложением) кремний- (силан  $\text{SiH}_4$ , дихлорсилан  $\text{SiH}_2\text{Cl}_2$ ) и азотсодержащих (аммиак  $\text{NH}_3$ ) газов. Состав получаемого нитрида кремния зависит от соотношения парциальных давлений кремний- и азотсодержащих газов. При больших избытках аммиака получается нитрид кремния, близкий по химическому составу к стехиометрическому  $\text{Si}_3\text{N}_4$ . При увеличении относительного давления кремниесодержащих газов нитрид кремния обогащается кремнием, его формула имеет вид  $\text{SiN}_x$  ( $x < 4/3$ ). Строение  $\text{SiN}_x$  в предельных случаях описывается моделью неупорядоченной случайной сетки (Random Bonding) или моделью смеси фаз (Random Mixture) [29, 30]. В модели Random Bonding  $\text{SiN}_x$  состоит из тетраэдров пяти сортов  $\text{SiN}_v\text{Si}_{4-v}$ ,  $v = 0, 1, 2, 3, 4$ , причём атомы кремния случайно замещают атомы азота в тетраэдре  $\text{SiN}_v\text{Si}_{4-v}$ . В модели Random Mixture  $\text{SiN}_x$  состоит из тетраэдров двух сортов,  $\text{SiN}_4$  и  $\text{SiSi}_4$ , т.е. из двух фаз:  $\text{Si}_3\text{N}_4$  и  $\text{Si}$ . Эксперименты по фотоэлектронной спектроскопии свидетельствуют о том, что  $\text{SiN}_x$  состоит из тетраэдров пяти сортов ( $\text{SiN}_v\text{Si}_{4-v}$ ,  $v = 0, 1, 2, 3, 4$ ), однако статистика тетраэдров количественно не описывается моделью Random Bonding. В [30] предложена промежуточная модель для описания строения  $\text{SiN}_x$ .

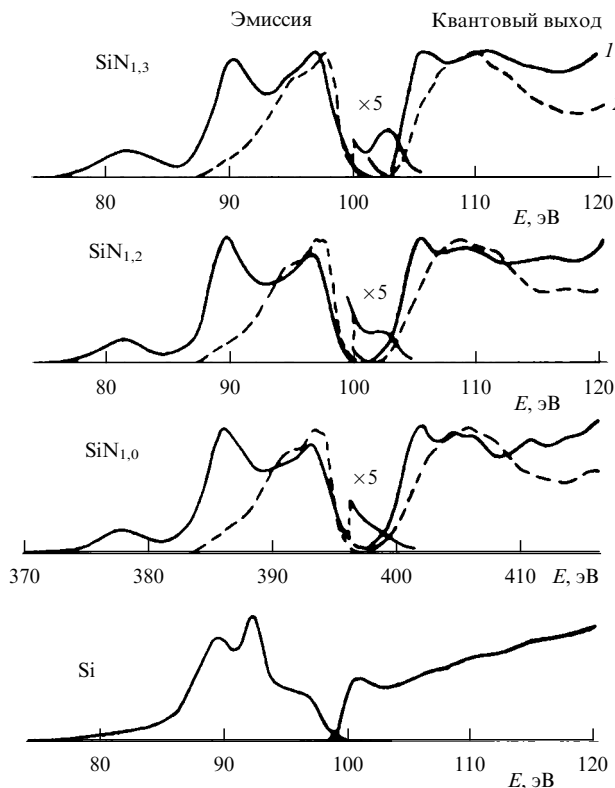


Рис. 15. Рентгеновские спектры эмиссии и квантового выхода  $\text{SiN}_x$  переменного состава.

Электронная структура валентной зоны  $\text{SiN}_x$  изучалась методами фотоэлектронной спектроскопии в [31, 32]. На рисунке 13 представлены рентгеновские фотоэлектронные спектры валентной зоны  $\text{SiN}_x$  переменного состава. Обогащение кремнием приводит к монотонному смещению потолка валентной зоны  $E_v$  в направлении запрещённой зоны. Анализ сечений фотоионизации при энергии 1486,6 эВ свидетельствует о том, что при этой энергии кванта доминирующий вклад в фотоионизацию дают 3s-, 3p-состояния кремния. Аналогичное смещение потолка валентной зоны в направлении запрещённой зоны наблюдается в ультрафиолетовых фотоэлектронных спектрах при возбуждении квантами с энергией 40,8 эВ (рис. 14) [32]. При этой энергии кванта доминирующий вклад в фотоионизацию дают 2p-состояния азота. Таким образом, при обогащении  $\text{SiN}_x$  кремнием связующие Si 3s, 3p–N 2p-орбитали смещаются в направлении запрещённой зоны.

Интересно отметить, что высокоэнергетический край в  $\text{Si L}_{2,3}$ -спектрах эмиссии не смещается в направлении запрещённой зоны для тетраэдрических соединений кремния широкого состава ( $\text{Si}, \text{Si}_3\text{N}_4, \text{SiO}_x\text{N}_y, \text{SiO}_2$ ) [1] и  $\text{SiN}_x$  (рис. 15). Это кажущееся, на первый взгляд, противоречие объясняется химическим сдвигом Si 2p-уровней в направлении больших энергий при увеличении электроотрицательности атомов в тетраэдрическом окружении кремния (рис. 16).

Обогащение  $\text{SiN}_x$  кремнием сопровождается смещением края поглощения  $\text{Si L}_{2,3}$  в направлении меньших

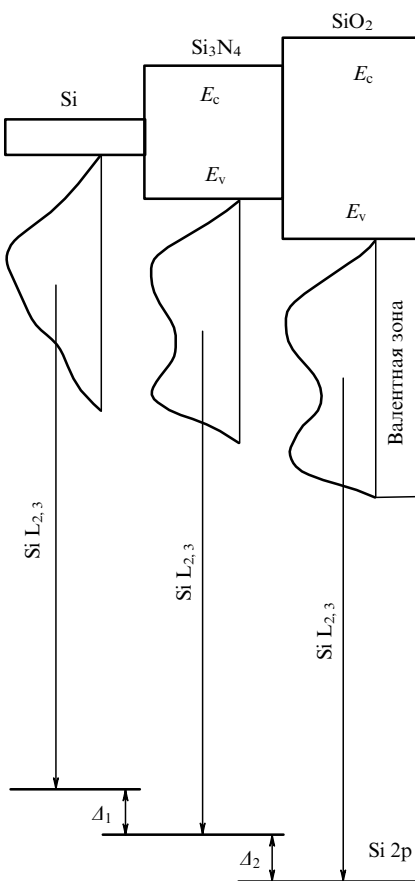


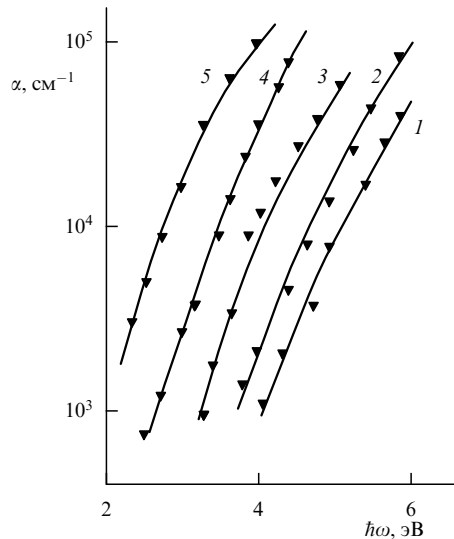
Рис. 16. Смещение Si 2p-уровня и потолка валентной зоны в тетраэдрических соединениях кремния  $\text{Si}, \text{Si}_3\text{N}_4, \text{SiO}_2$ .

энергий (см. рис. 15) [31]. Это связано со смещением Si 3s-, 3d-состояний в направлении запрещённой зоны.

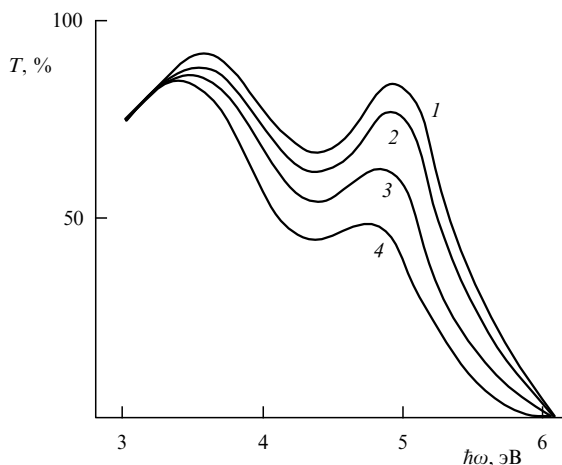
## 8. Оптические свойства нитрида кремния, обогащённого кремнием, и облучённого нитрида кремния

Как уже отмечалось, синтез нитрида кремния осуществляется из кремний- и азотсодержащих газов (например, из  $\text{SiH}_4$  и  $\text{NH}_3$ ) путём их термического разложения. Увеличение отношения  $\text{SiH}_4/\text{NH}_3$  сопровождается появлением в нитриде кремния избыточного кремния. Обогащение  $\text{SiN}_x$  кремнием сопровождается смещением края фундаментального поглощения в направлении меньших энергий (рис. 17). Аналогичный эффект наблюдался в стехиометрическом нитриде кремния  $\text{Si}_3\text{N}_4$ , облучённом высоконергетическими ионами бора. На рисунке 18 представлена спектральная зависимость коэффициента поглощения нитрида кремния, облучён-

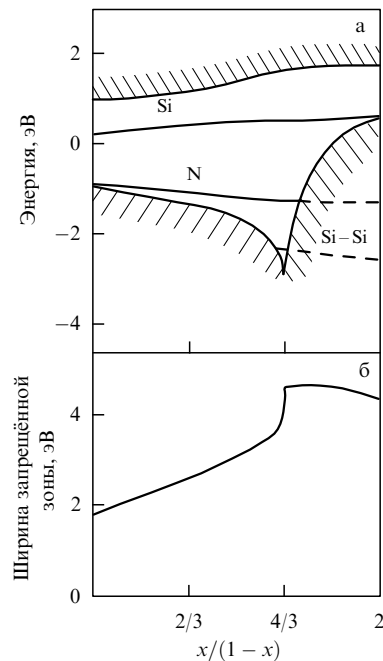
ного ионами бора с различной дозой [33]. Увеличение дозы облучения приводит к сдвигу края поглощения в направлении меньших энергий. Как показано в предыдущем разделе, это явление связано со смещением связующих N 2p-Si 3s-, 3p-, d-орбиталей и антисвязующих N 2p-Si 3s-, 3p-, d-орбиталей в направлении запрещённой зоны. Такая интерпретация подтверждается квантово-химическими расчётом, проиллюстрированными на рис. 19 [34]. Обогащение  $\text{SiN}_x$  кремнием сопровождается уменьшением ширины запрещённой зоны. Установлено, что облучение  $\text{Si}_3\text{N}_4$  приводит к увеличению



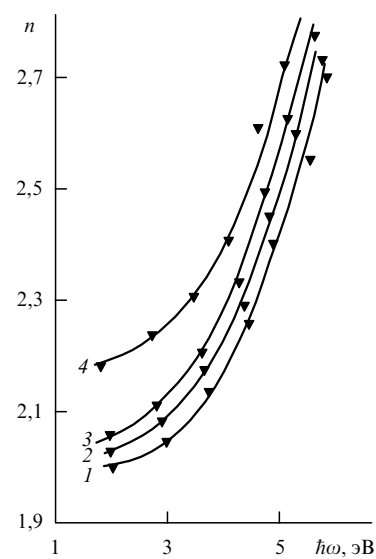
**Рис. 17.** Спектральная зависимость коэффициента поглощения  $\text{SiN}_x$ , выращенного при разных соотношениях  $R = \text{SiH}_4/\text{NH}_3$ : 1:100 (1), 1:10 (2), 1:5 (3), 1:3 (4), 1:1 (5).



**Рис. 18.** Спектральная зависимость коэффициента поглощения облучённого ионами  $B^+$  нитрида кремния. (1) — исходный  $\text{Si}_3\text{N}_4$ , (2) — (4) — облучение ионами  $B^+$  с энергией 100 кэВ при дозе  $D = 3 \times 10^{12}$  (2),  $3 \times 10^{14}$  (3),  $3 \times 10^{15} \text{ см}^{-2}$  (4).



**Рис. 19.** (а) Расчётная энергетическая диаграмма  $\text{SiN}_x$ , положение краёв запрещённой зоны и уровней дефектов в зависимости от параметра  $x$ . (б) Зависимость ширины запрещённой зоны  $\text{SiN}_x$  от  $x$ .



**Рис. 20.** Спектральная зависимость показателя преломления облучённого ионами  $B^+$  нитрида кремния. (1) — исходный  $\text{Si}_3\text{N}_4$ , (2) — (4) — облучение ионами  $B^+$  с энергией 100 кэВ при дозе  $D = 3 \times 10^{12}$  (2),  $3 \times 10^{14}$  (3),  $3 \times 10^{15} \text{ см}^{-2}$  (4).

показателя преломления (рис. 20) [33], подобно тому как это имеет место при обогащении  $\text{SiN}_x$  кремнием.

## 9. Заключение

В настоящем обзоре проведён детальный анализ электронной структуры и эффективных масс электронов и дырок в нитриде кремния. Современные квантово-химические расчёты хорошо описывают экспериментально наблюдаемый перенос заряда по связи Si–N.

Анализ показывает, что верхняя валентная зона сформирована связующими N 2p–Si 3sp<sup>3</sup>-орбиталами. В формирование верхней части валентной зоны доминирующий вклад дают несвязующие N 2p<sub>π</sub>-орбитали. Однако принципиально важно отметить, что кроме N 2p<sub>π</sub>-орбиталей в формирование верхней части валентной зоны дают вклад также связующие N 2p–Si 3sp<sup>3</sup>-орбитали. Интеграл перекрытия N 2p<sub>π</sub>-орбиталей мал, поэтому таким орбиталам соответствуют вблизи потолка валентной зоны "тяжёлые" дырки ( $m_h^* \approx 25m_0$ ). Связующим Si 3sp<sup>3</sup>–N 2p-орбиталям вблизи потолка валентной зоны соответствуют лёгкие ( $m_h^* \approx 0,5m_0$ ) дырки. Этим орбиталам соответствуют большие интегралы перекрытия.

Настоящая работа поддержана проектом № 18 и проектом № 5 Сибирского отделения Российской академии наук.

## Список литературы

1. Гриценко В А *Строение и электронная структура аморфных диэлектриков в кремниевых МДП структурах* (Новосибирск: Наука, 2003)
2. Gritsenko V A *Electronic Structure and Optical Properties of  $\text{Si}_3\text{N}_4$ , in Silicon Nitride in Electronics* (New York: Elsevier, 1986)
3. Roizin Y, Gritsenko V, in *Dielectric Films for Advanced Microelectronics* (Eds M Baklanov, M Green, K Maex) (Chichester: John Wiley & Sons, 2007)
4. Lee C-H, Park K-C, Kim K *Appl. Phys. Lett.* **87** 073510 (2005)
5. Насыров К А, Шаймев С С, Гриценко В А *ЖЭТФ* **136** 910 (2009) [Nasyrov K A, Shaimeev S S, Gritsenko V A *JETP* **109** 786 (2009)]
6. Гриценко В А *УФН* **178** 727 (2008) [Gritsenko V A *Usp. Fiz. Nauk* **51** 699 (2008)]
7. Zerr A et al. *Nature* **400** 340 (1999)
8. Mo S-D et al. *Phys. Rev. Lett.* **83** 5046 (1999)
9. Sekine T et al. *Appl. Phys. Lett.* **76** 3706 (2000)
10. Ren S-Y, Ching W Y *Phys. Rev. B* **23** 5454 (1981)
11. Xu Y-N, Ching W Y *Phys. Rev. B* **51** 17379 (1995)
12. Roberson J *Philos. Mag.* **44** 215 (1981)
13. Шапошников А В, Петров И П, Гриценко В А, Ким С В *ФТТ* **49** 1554 (2007) [Shaposhnikov A V, Petrov I P, Gritsenko V A, Kim S W *Phys. Solid State* **49** 1628 (2007)]
14. Перевалов Т В, Гриценко В А *УФН* **180** 587 (2010) [Perevalov T V, Gritsenko V A *Phys. Usp.* **53** 561 (2010)]
15. Gritsenko V A, Meerson E E, Morokov Yu N *Phys. Rev. B* **57** R2081 (1998)
16. Guo X, Ma T P *IEEE Electron Device Lett.* **19** 207 (1998)
17. Yeo Y-C, King T-J, Hu C *Appl. Phys. Lett.* **81** 2091 (2002)
18. Yu H Y et al. *IEEE Electron Device Lett.* **23** 285 (2002)
19. Yu H et al. *IEEE Trans. Electron Devices* **49** 1158 (2002)
20. Sorokin A N, Karpushin A A, Gritsenko V A, Wong H J. *Appl. Phys.* **105** 073706 (2009)
21. Некрасевич С С, Гриценко В А, Клаузер Р, Гво С *ЖЭТФ* **138** 745 (2010) [Nekrashevich S S, Gritsenko V A, Klausner R, Gwo S *JETP* **111** 659 (2010)]
22. Гриценко В А и др. *ФТП* **35** 1041 (2001) [Gritsenko V A *Semiconductors* **35** 997 (2001)]
23. Carson R D, Schnatterly S E *Phys. Rev. B* **33** 2432 (1986)
24. Yeh J-J *Atomic Calculation of Photoionization Cross-Sections and Asymmetry Parameters* (Langhorne, PA: Gordon and Breach Sc. Publ., 1993)
25. DiStefano T H, Estman D E *Phys. Rev. Lett.* **27** 1560 (1971)
26. Lieske N, Hezel R *Thin Solid Films* **61** 217 (1979)
27. Philipp H R J. *Electrochem. Soc.* **120** 295 (1973)
28. Griscom D L J. *Non-Cryst. Solids* **24** 155 (1977)
29. Gritsenko V A et al. *Phys. Rev. Lett.* **81** 1054 (1998)
30. Гриценко В А и др. *ЖЭТФ* **125** 868 (2004) [Gritsenko V A et al. *JETP* **98** 760 (2004)]
31. Болотин В П, Брытов И А, Гриценко В А, Попов В П *ДАН СССР* **310** 114 (1990)
32. Kärcher R, Ley L, Johnson R L *Phys. Rev. B* **30** 1896 (1984)
33. Гриценко В А и др. *ДАН СССР* **287** 1381 (1986) [Gritsenko V A et al. *Sov. Phys. Dokl.* **31** 341 (1986)]
34. Martin-Moreno L et al. *Phys. Rev. B* **35** 9683 (1987)

## Electronic structure of silicon nitride

**V.A. Gritsenko**

*A.V. Rzhanov Institute of Semiconductor Physics, Russian Academy of Sciences,  
pr. Lavrent'eva 13, 630090 Novosibirsk, Russian Federation  
Tel. +7 (383) 333 38 64. Fax +7 (383) 333 27 71  
E-mail: grits@isp.nsc.ru*

Amorphous oxide  $\text{SiO}_2$ , oxynitride  $\text{SiO}_x\text{N}_y$  and silicon nitride  $\text{Si}_3\text{N}_4$  are the three key dielectric materials of silicon device technology. Silicon nitride is currently finding use in a variety of applications, in particular, as a storage medium in next-generation flash memory devices. Varying the chemical composition of nonstoichiometric silicon-rich  $\text{SiN}_x$  allows a wide-range control of its optical and electrical properties. In this review, an analysis of the electronic structure of silicon nitride of varying composition is presented.

PACS numbers: 71.15.Mb, 71.23.–k, 77.22.–d, 77.55.df, 77.84.Bw, 78.20.–e

DOI: 10.3367/UFNr.0182.201205d.0531

Bibliography — 34 references

Received 8 December 2011

*Uspekhi Fizicheskikh Nauk* **182** (5) 531–541 (2012)

*Physics – Uspekhi* **55** (5) (2012)